

Figura 6.81b Desplazamiento de la superficie de fluencia inicial SI a $\Psi = 87 \text{ MPa}$, trayectoria de tensiones y vectores que nos indican la dirección de los incrementos de las deformaciones plásticas durante la etapa de corte. Ensayo IWS – OC – 87.

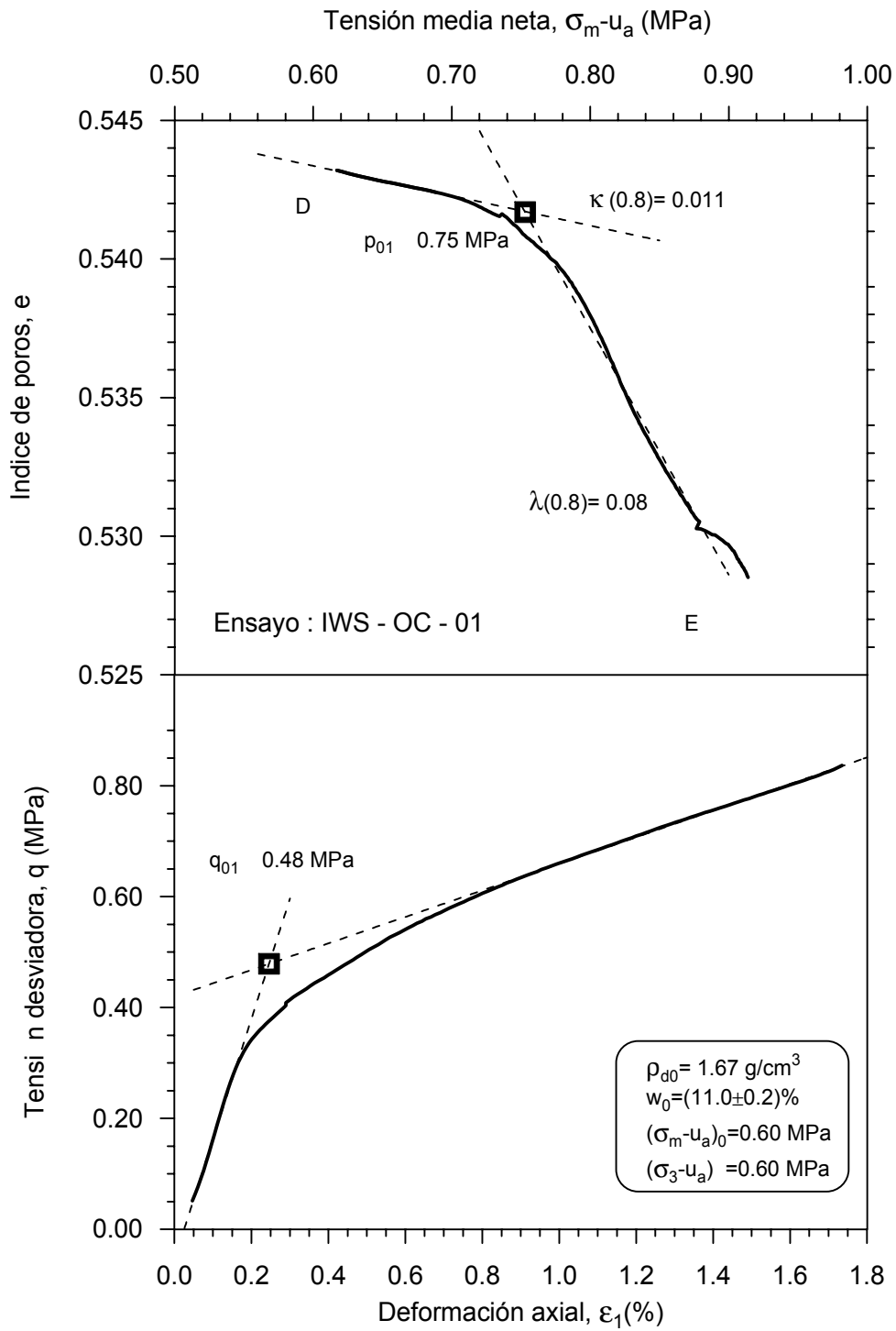


Figura 6.82 Determinación del punto de fluencia entre las deformaciones elásticas y plásticas en la etapa de corte. Ensayo IWS – OC – 01.

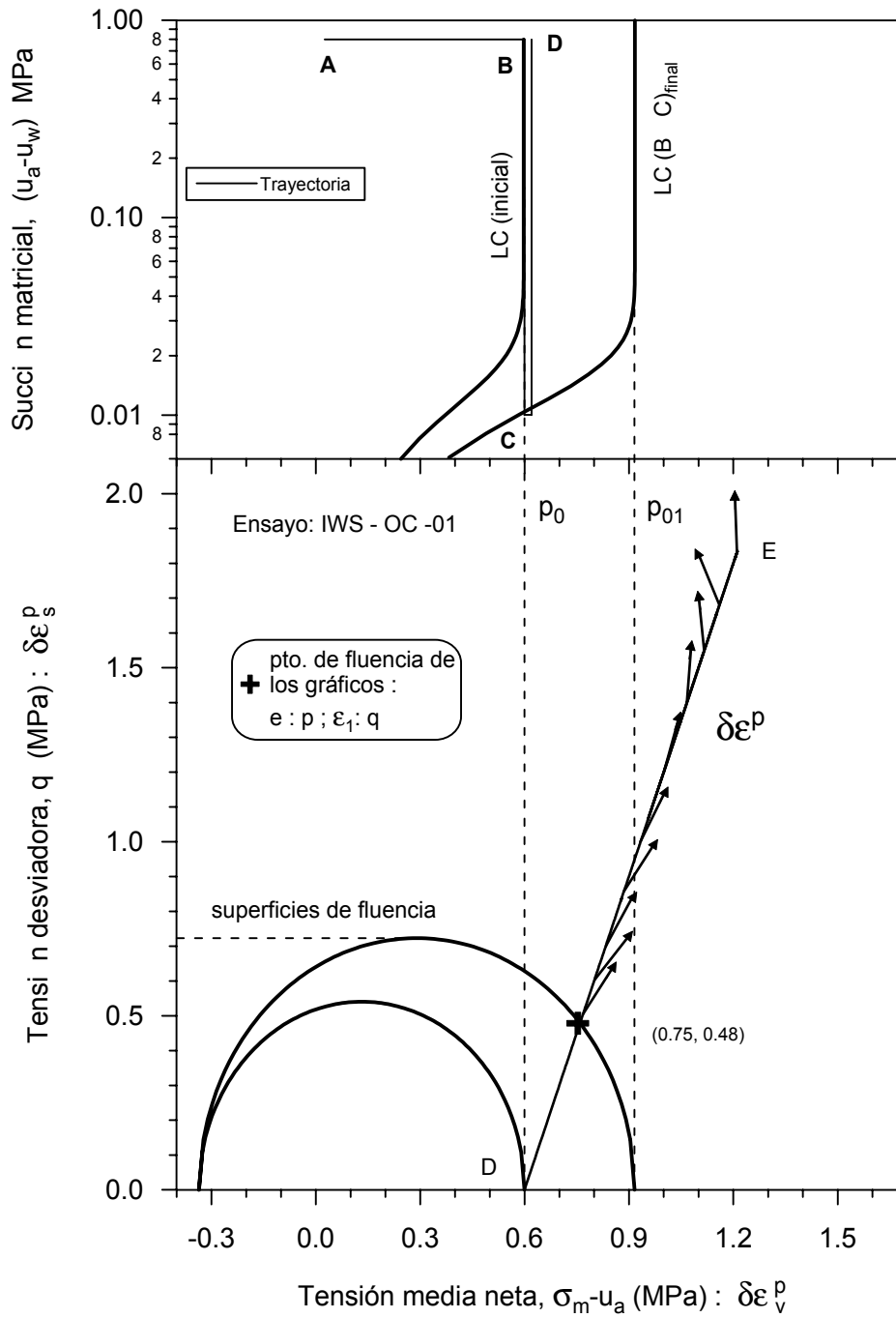


Figura 6.83 Desplazamiento de la superficie de fluencia inicial, trayectoria de tensiones y vectores que nos indican la dirección de los incrementos de las deformaciones plásticas durante la etapa de corte. Ensayo IWS – OC – 01.

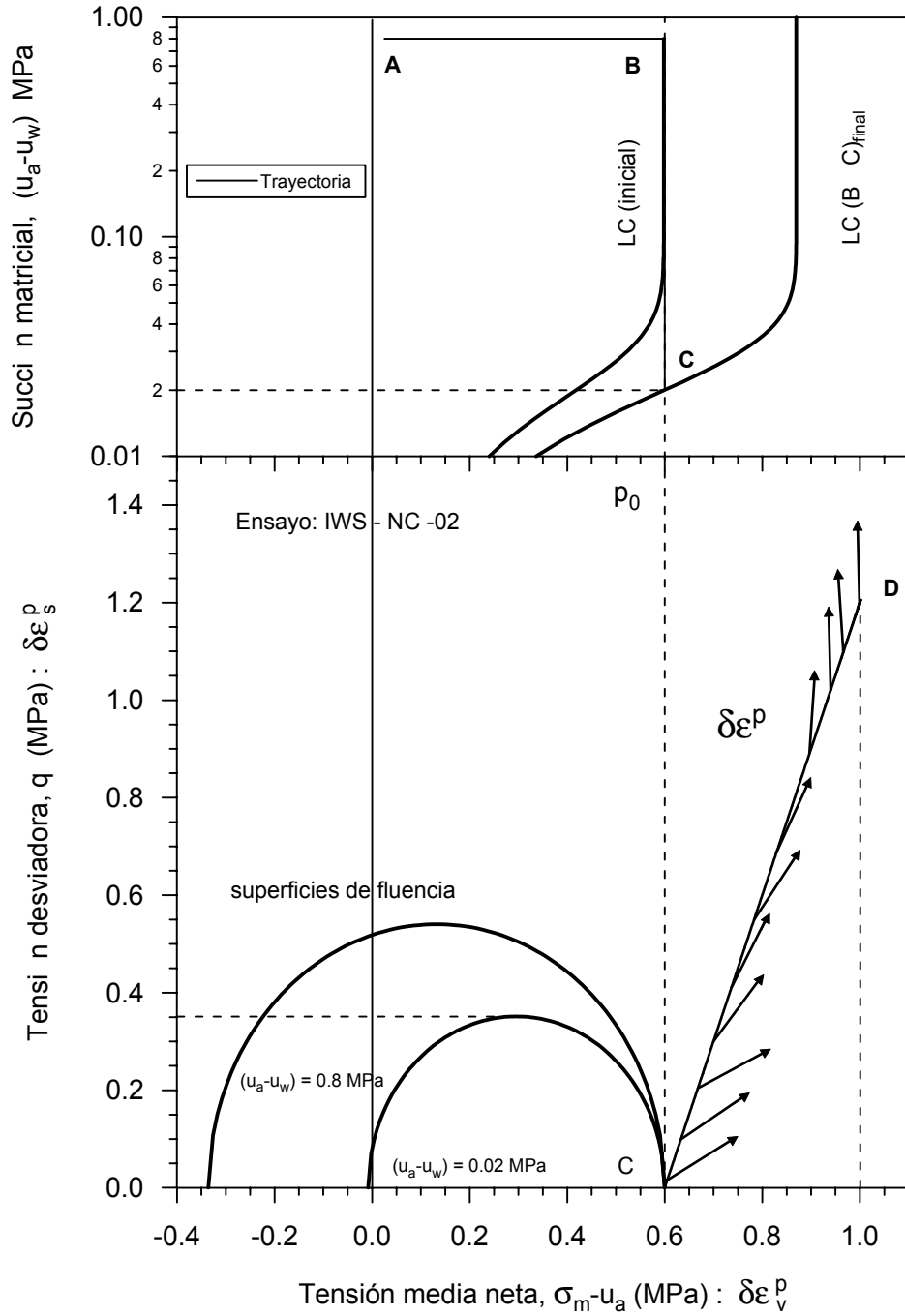


Figura 6.84 Superficie de fluencia inicial ($s = 0.8$ MPa) y superficie de fluencia a $s = 0.02$ MPa, trayectoria de tensiones y vectores que nos indican la dirección de los incrementos de las deformaciones plásticas durante la etapa de corte a una $s = 0.02$ MPa. Ensayo IWS – NC – 02.

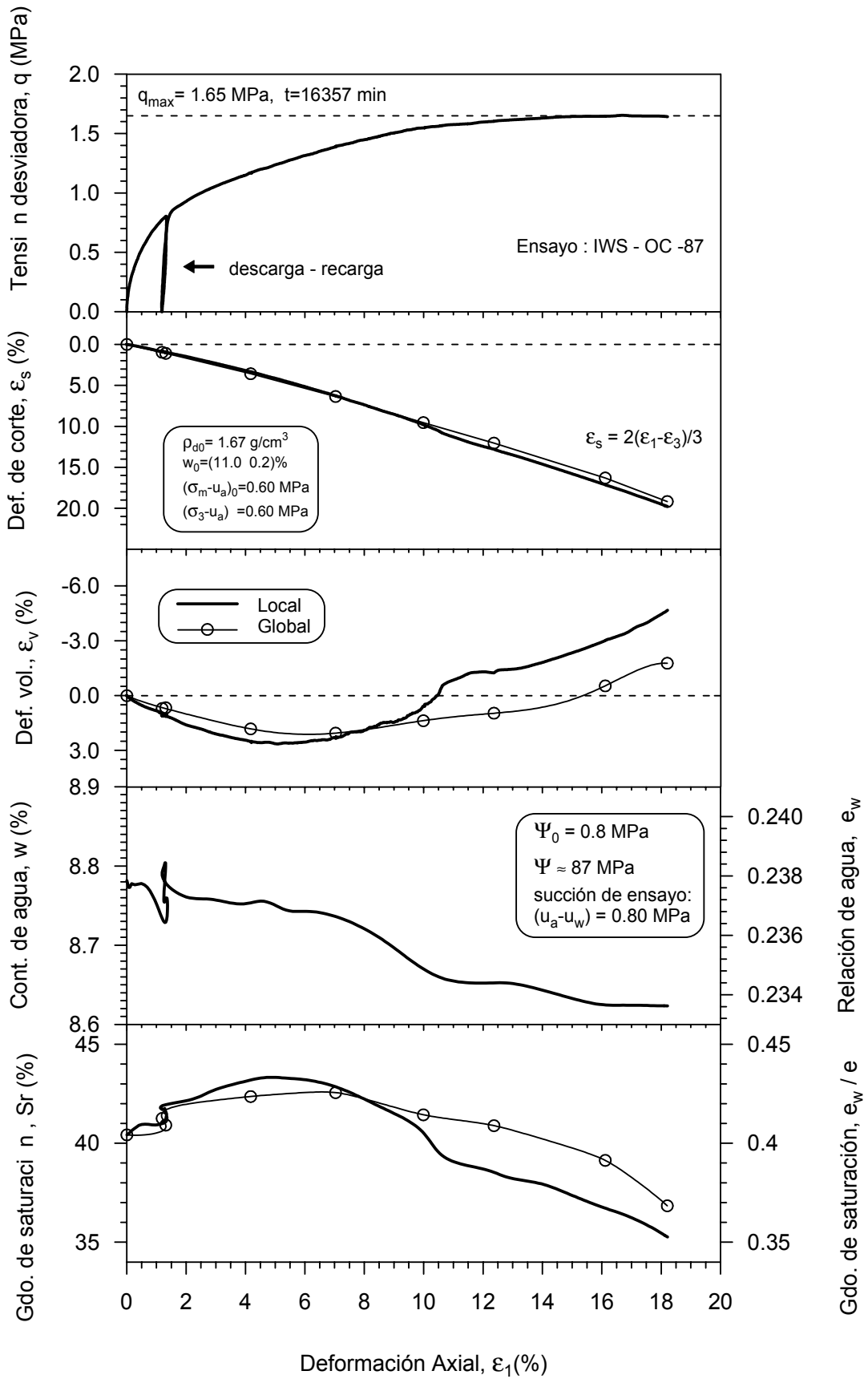


Figura 6.85 Variación de la tensión desviadora, deformación volumétrica y de corte, contenido de agua y grados de saturación con respecto a la deformación axial. Ensayo IWS – OC – 87.

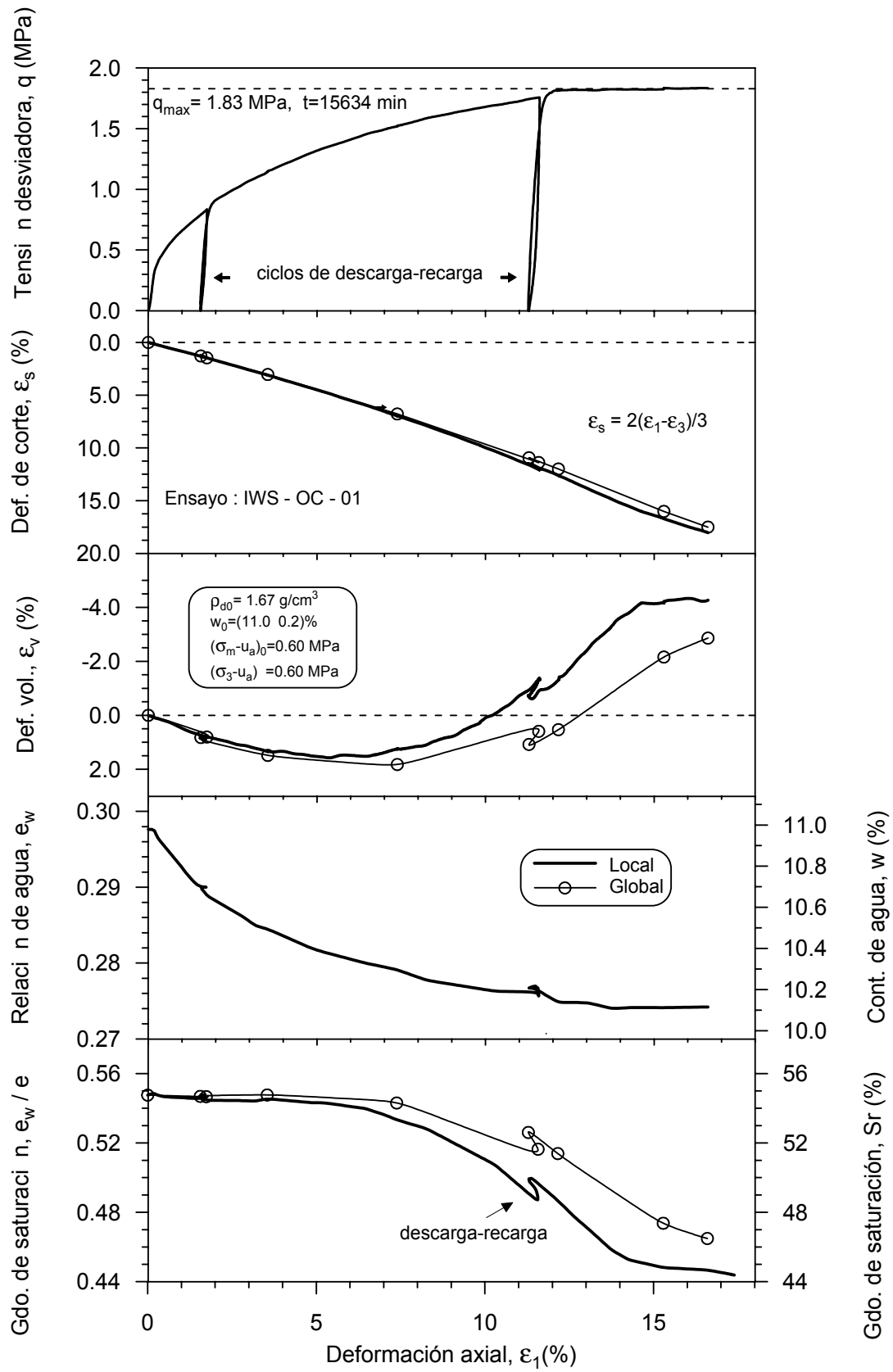


Figura 6.86 Variación de la tensión desviadora, deformación volumétrica y de corte, contenido de agua y grados de saturación con respecto a la deformación axial. Ensayo IWS – OC – 01.

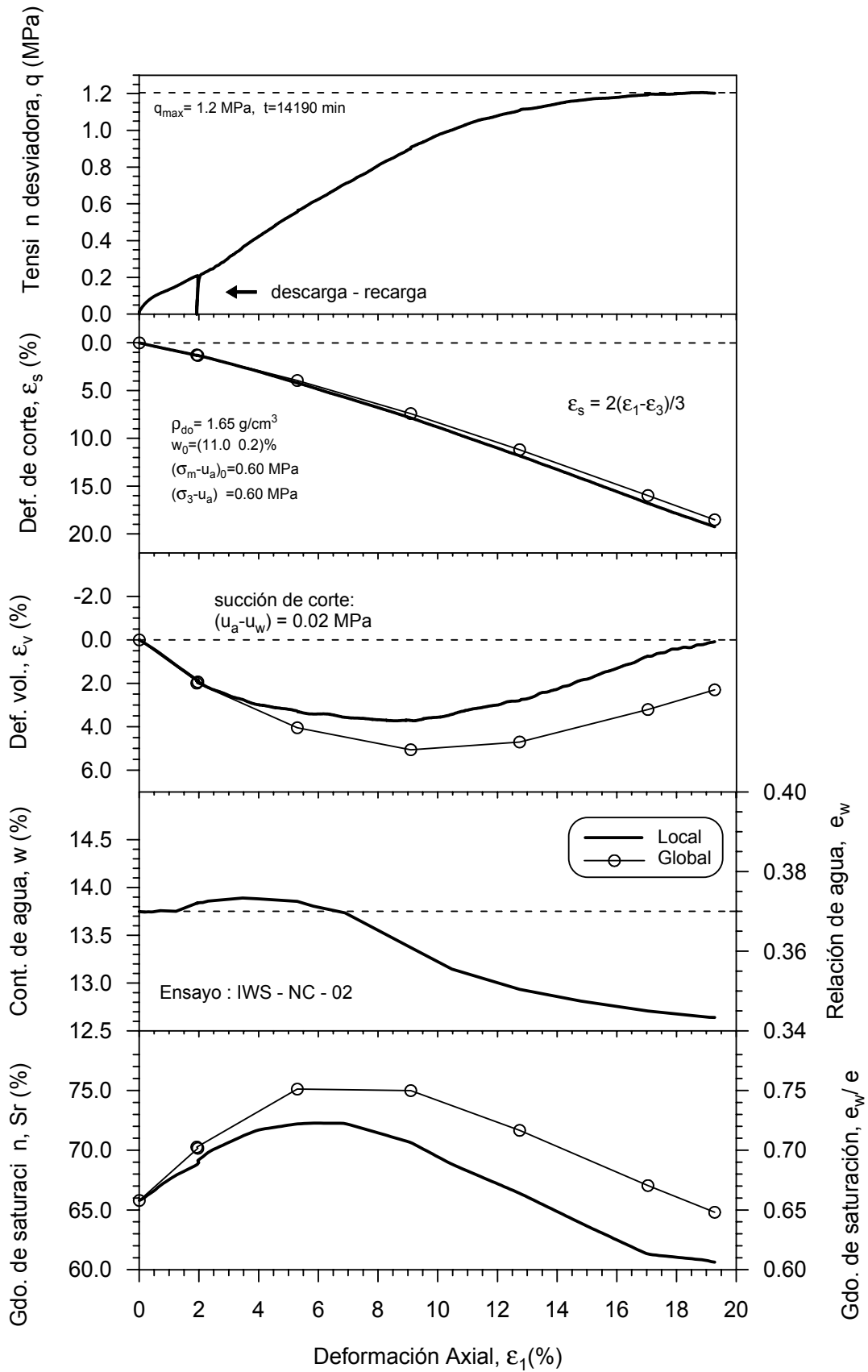


Figura 6.87 Variación de la tensión desviadora, deformación volumétrica y de corte, contenido de agua y grados de saturación con respecto a la deformación axial. Ensayo IWS – NC – 02.

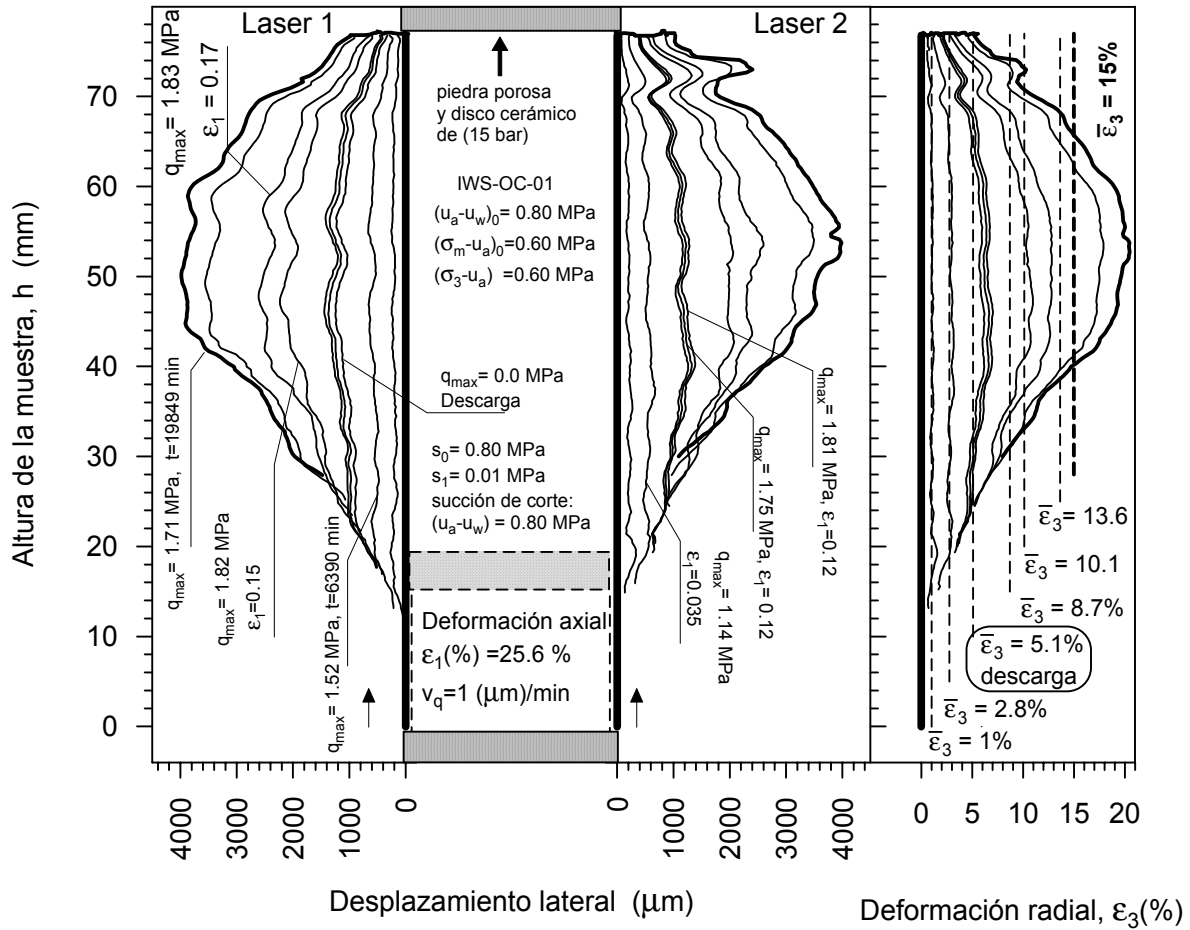


Figura 6.88 Perfil de las deformaciones laterales en la etapa de rotura bajo succión constante ($s = 0.8$ MPa) del ensayo IWS – OC – 01.

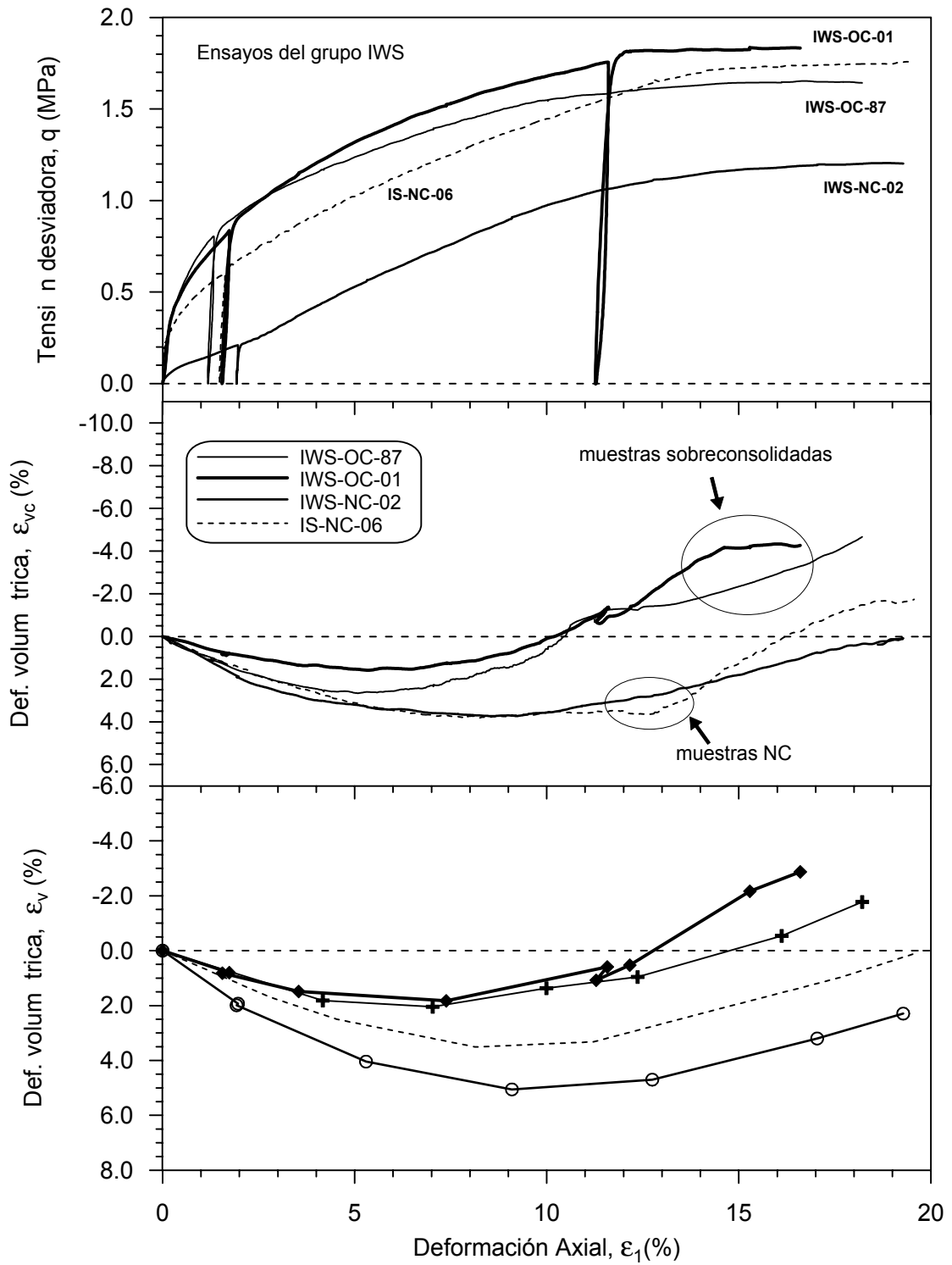


Figura 6.89 Variación de la tensión desviadora, deformación volumétrica local y global de los ensayos del grupo IWS, en muestras sobreconsolidadas y normalmente consolidadas.

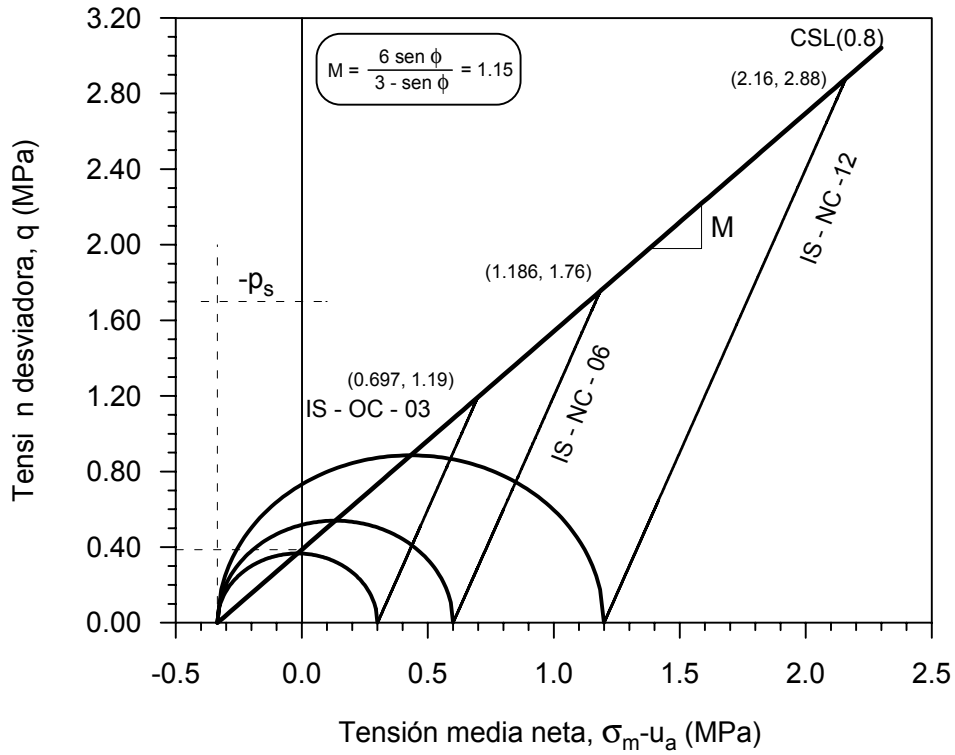


Figura 6.90 Línea de estado crítico en muestras no saturadas ($s = 0.8$ MPa) en el plano tensión desviadora – tensión media neta.

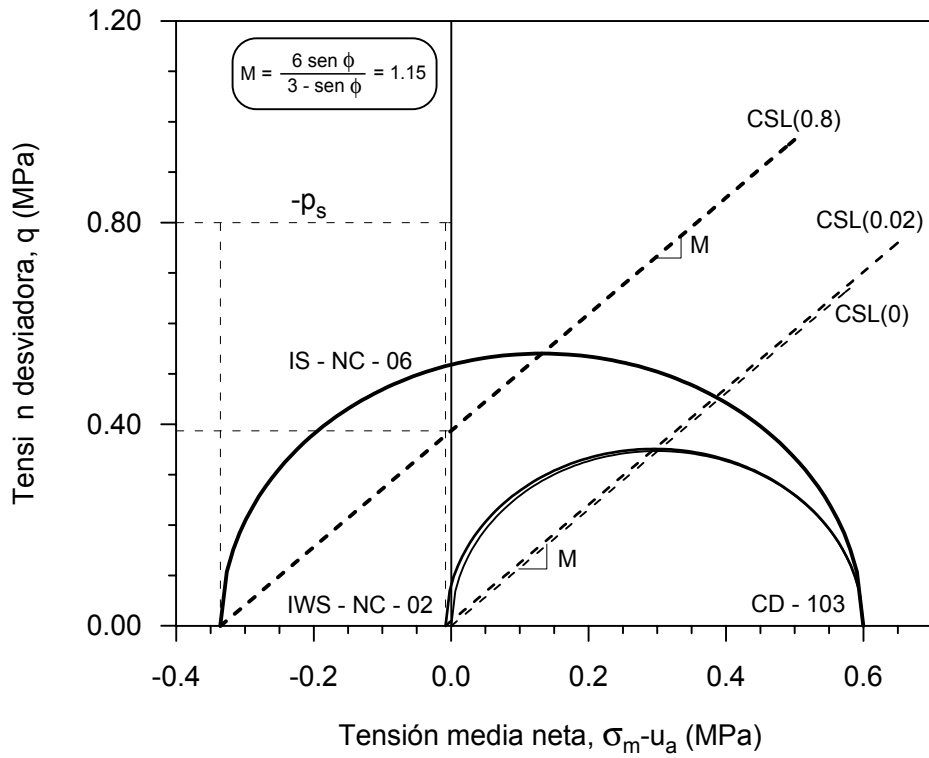


Figura 6.91 Línea de estado crítico a succión muestras a succión constante ($s = 0.8$ MPa y $s = 0.02$ MPa) y en muestras saturadas en el plano tensión desviadora – tensión media neta.

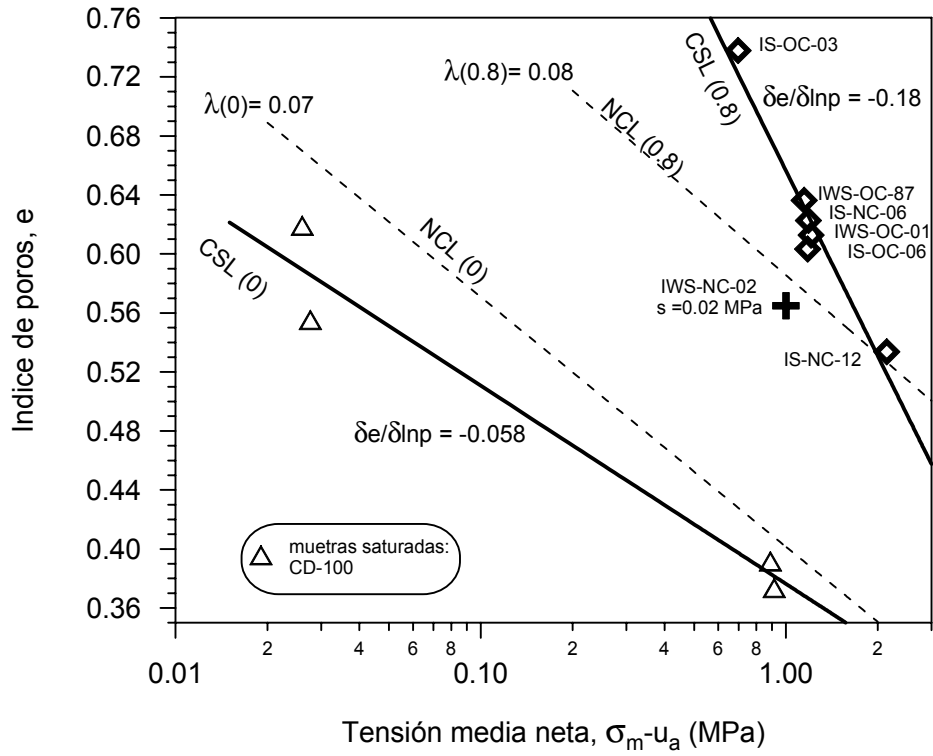


Figura 6.92 Línea de estado crítico en el plano $\ln(\sigma_m - u_a) : e$ en muestras a succión constante ($s = 0.8$ MPa) y en muestras saturadas.

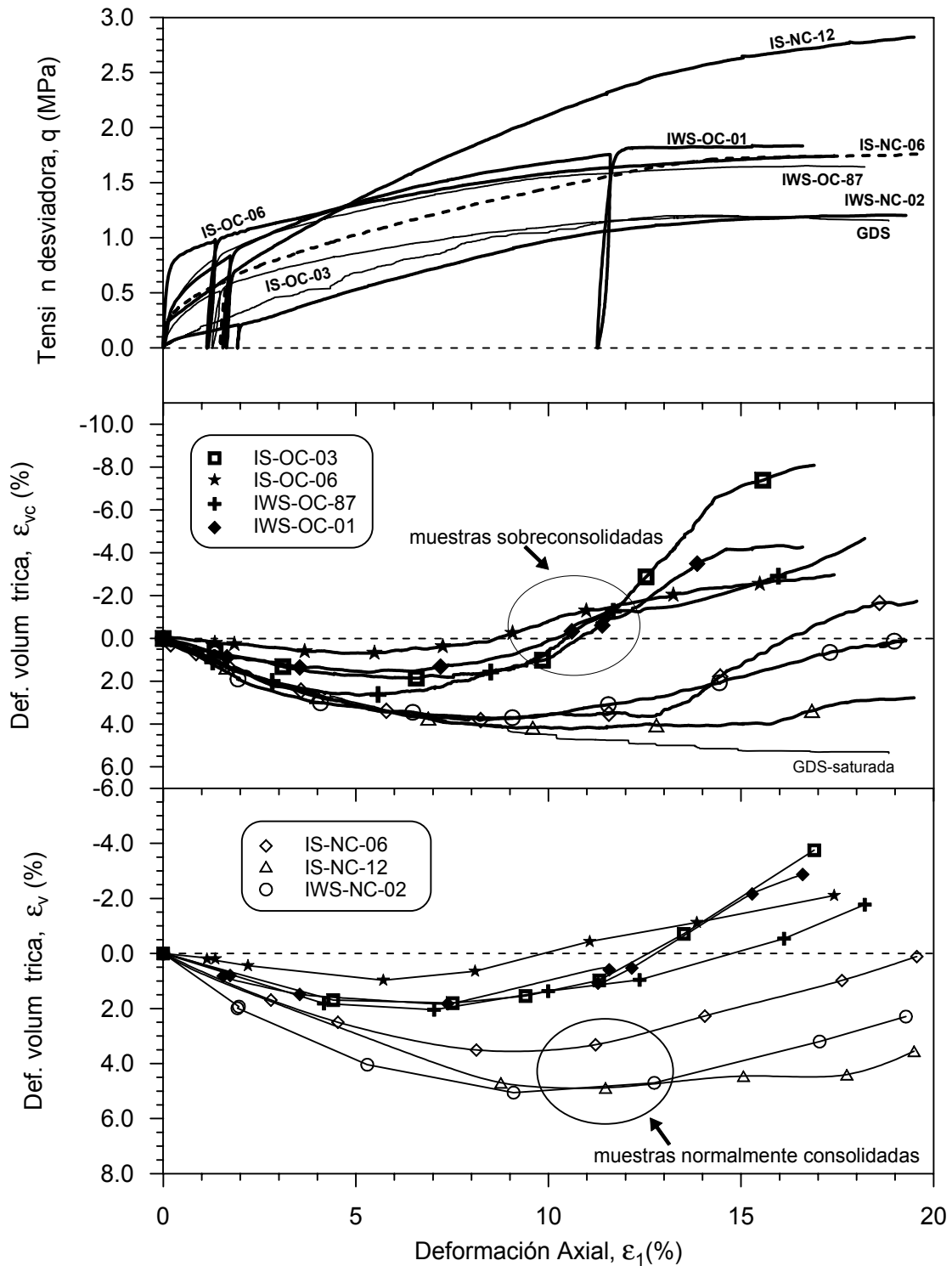


Figura 6.93 Resultado de los ensayos del grupo IS y IWS en la etapa de rotura. Variación de la tensión desviadora, deformación volumétrica local y global en muestras sobreconsolidadas y normalmente consolidadas.

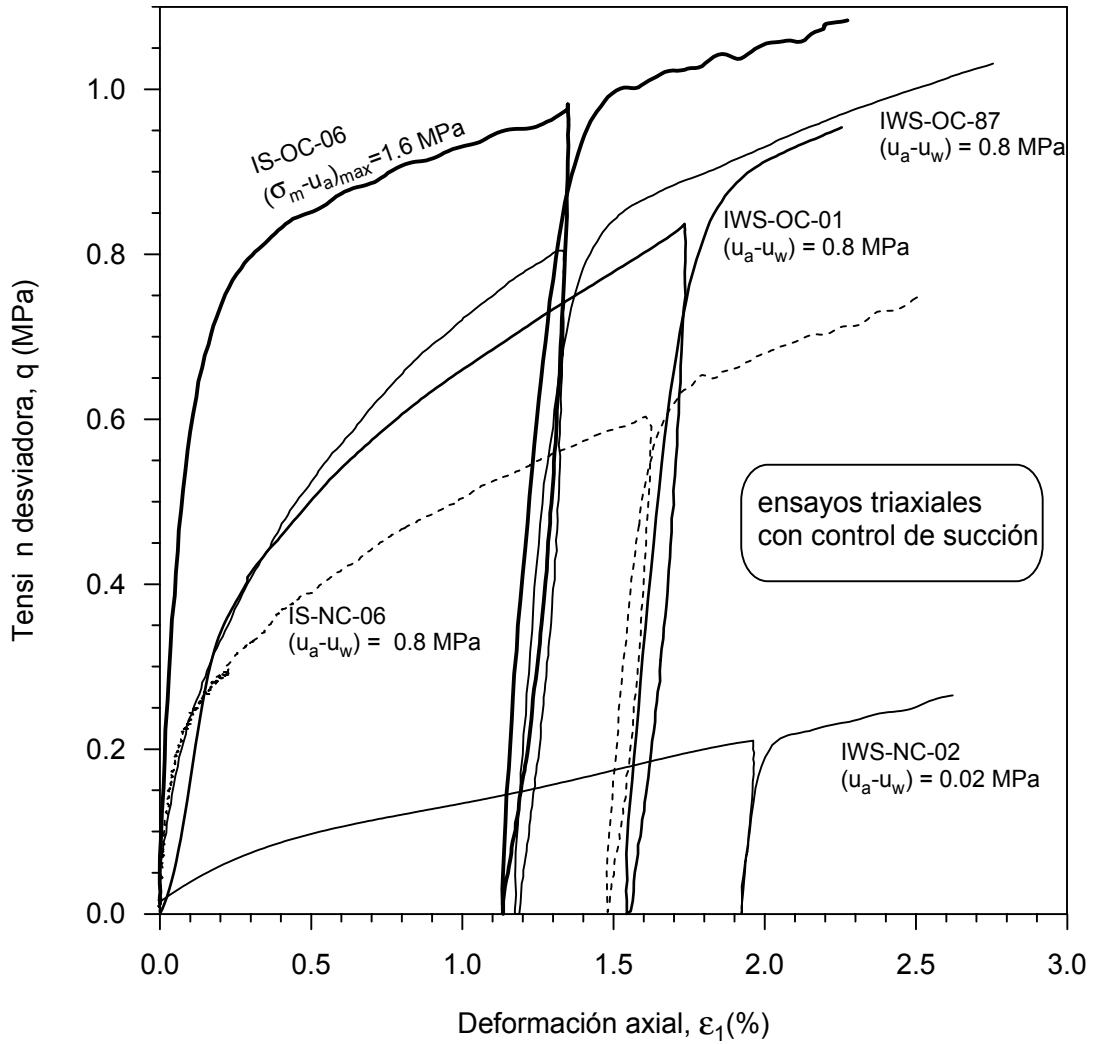


Figura 6.94a Influencia del incremento de la succión en los ensayos y la rigidez de las muestras sobreconsolidadas por un proceso hidráulico y mecánico antes de la etapa de corte.

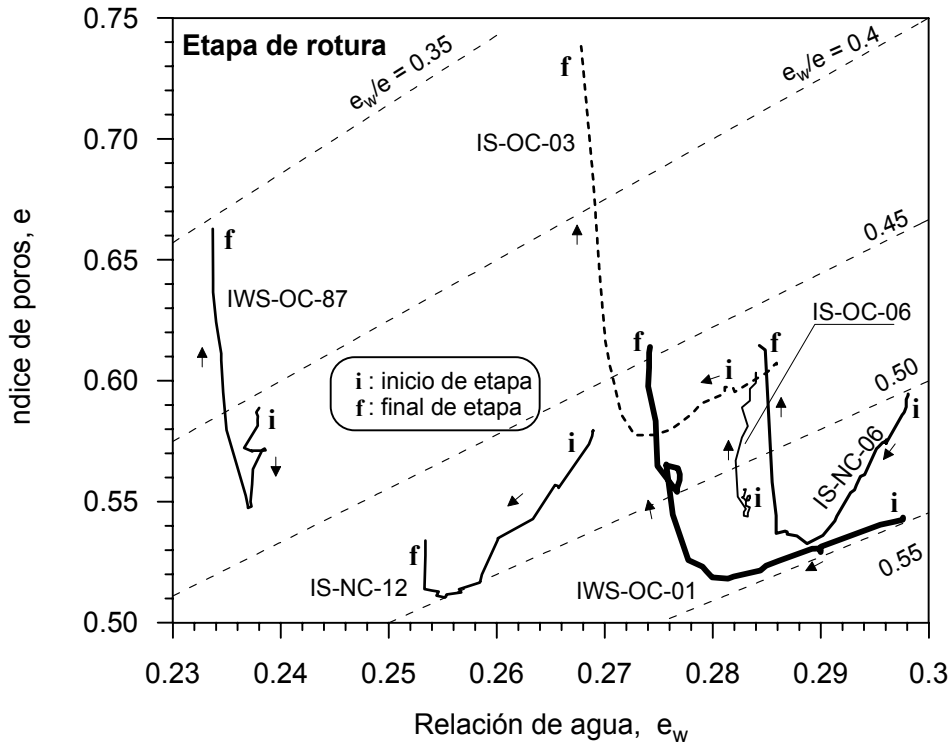


Figura 6.94b Variación del índice de poros con respecto a la relación de agua durante la etapa de rotura a succión constante ($s = 0.8$ MPa).

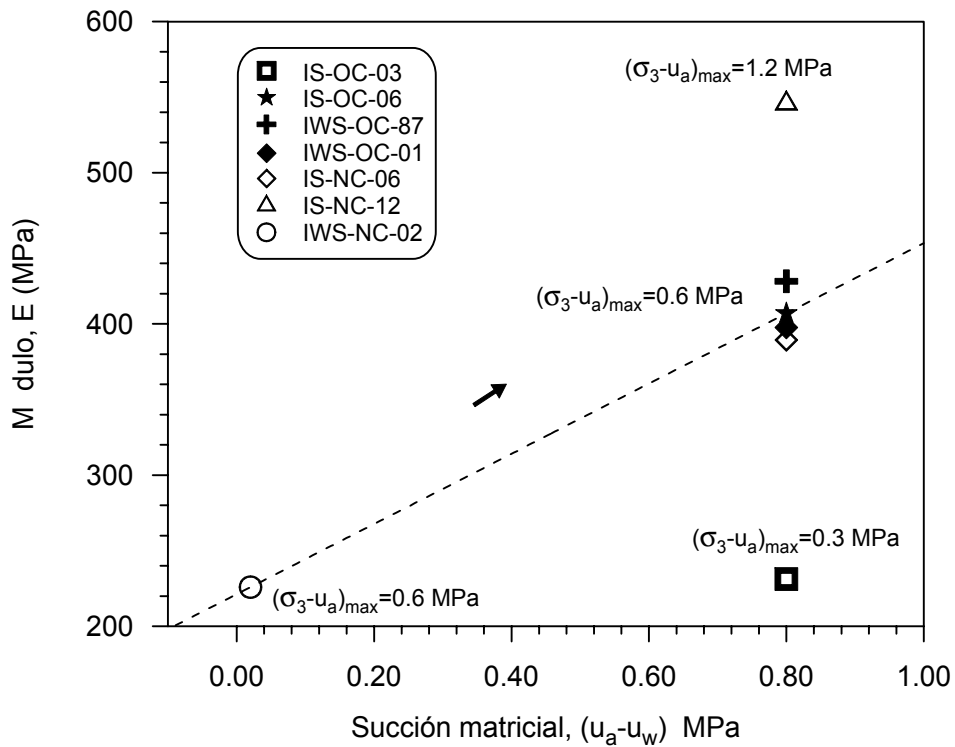


Figura 6.95 Influencia de la succión sobre el módulo de Young (E).